



Rosa di Mara

Frau A., Lovicu G., Rigoldi M.P., Farci M., 2019. Rosa di Mara. In: Italian Vitis Database. www.vitisdb.it ISSN 2282-006X

release 18/12/2019, ultimo aggiorn. 18/12/2019 url <http://vitisdb.it/varieties/show/1611>

Informazioni generali gestite da

Agris Sardegna Servizio RFOOVE

Informazioni botaniche

nome Rosa di Mara
tipo di origine spontanea
specie Vitis vinifera
gruppo di varietà non disponibile
trueness to type accertato con rilievi morfologici e microsatelliti
codice IVD-var_452

genere Vitis
sottospecie sativa
vitigno da tavola

True-name

confermato **si**

Bibliografia correlata (1)

| autori | anno | titolo | rivista | citazione |
|--------|------|-------------------------|---------|--|
| AA.VV. | 2017 | AKINAS, Uve di Sardegna | | AA.VV. 2017. AKINAS, Uve di Sardegna. Ed. Ilisso, Isbn 9788862023528 |

Registrazione

iscritto al Registro Nazionale delle Varietà di Viti non disponibile

Sinonimi

sinonimi accertati (4)

sinonimi accertati dall'Istituzione che compare con eventuale supporto bibliografico
 Verico(Cipro) Kyprou mavro(Cipro) Gemre Pembe(Turchia) Axina grussa de Mara(Sardegna meridionale)

Accessione principale

accessione principale Rosa di Mara
componente che l'ha inserita Agris Sardegna Servizio RFOOVE

Accessioni standardizzate (1)

- Rosa di Mara - Agris Sardegna Servizio RFOOVE

Tutte le accessioni (1)

- Rosa di Mara - Agris Sardegna Servizio RFOOVE

Cloni omologati

Nessun clone disponibile per

Profilo microsatellite standardizzato

| loci: | loci predefiniti (9) | | | | | | | | | | | | | | | | | |
|-------------|------------------------|-----|-------|-----|-------|-----|--------|-----|---------|-----|---------|-----|--------|-----|--------|-----|--------|-----|
| locus SSR: | VVS2 | | VVMD5 | | VVMD7 | | VVMD27 | | VrZAG62 | | VrZAG79 | | VVMD25 | | VVMD28 | | VVMD32 | |
| allele: | A1 | A2 | A1 | A2 | A1 | A2 | A1 | A2 | A1 | A2 | A1 | A2 | A1 | A2 | A1 | A2 | A1 | A2 |
| dimensione: | 145 | 151 | 231 | 239 | 239 | 251 | 193 | 193 | 192 | 204 | 251 | 257 | 240 | 250 | 251 | 261 | 251 | 257 |

Vi sono altri loci consultabili online

Immagini



germoglio






foglia



grappolo

Ampelografia

| OIV | descrizione | valore | | immagini |
|-------|--|--------|---|---|
| 001 | Giovane germoglio: apertura dell'apice | 5 | completamente aperto |  |
| 004 | Giovane germoglio: densità dei peli striscianti dell'apice | 5 | media | |
| 007 | Germoglio: colore del lato dorsale degli internodi | 2 | verde e rosso | |
| 008 | Germoglio: colore del lato ventrale degli internodi | 2 | verde e rosso | |
| 016 | Germoglio: numero di viticci consecutivi | 1 | 2 o meno | |
| 051 | Foglia giovane: colore della pagina superiore del lembo (4 a foglia) | 1 (3) | verde |  |
| 053 | Foglia giovane: densità peli striscianti tra le nervature principali della pagina inferiore (4a foglia) | 3 | bassa | |
| 067 | Foglia adulta: forma del lembo | 2 | cuneiforme | |
| 068 | Foglia adulta: numero dei lobi | 3 | cinque | |
| 070 | Foglia adulta: distribuzione pigmentazione antocianica nervature principali pagina superiore | 1 | assente | |
| 075 | Foglia adulta: bollosità della pagina superiore del lembo | 3 | bassa | |
| 076 | Foglia adulta: forma dei denti | 3 | entrambi i lati convessi | |
| 079 | Foglia adulta: grado di apertura / sovrapposizione dei bordi del seno peziolare | 3 | aperto | |
| 080 | Foglia adulta: forma della base del seno peziolare | 3 | a V | |
| 081-1 | Foglia adulta: denti del seno peziolare | 1 | assenti | |
| 081-2 | Foglia adulta: base del seno peziolare delimitata dalla nervatura | 1 | non delimitata | |
| 084 | Foglia adulta: densità dei peli striscianti tra le nervature principali sulla pagina inferiore del lembo | 1 | nulla o molto bassa | |
| 087 | Foglia adulta: densità dei peli eretti sulle nervature principali della pagina inferiore del lembo | 1 | nulla o molto bassa | |
| 151 | Fiore: organi sessuali | 3 | stami completamente sviluppati e gineceo completamente sviluppato |  |
| 202 | Grappolo: lunghezza (escluso il peduncolo) | 7 | lungo | |
| 204 | Grappolo: compattezza | 1 | molto spargolo | |
| 208 | Grappolo: forma | 2 | conico | |
| 220 | Acino: lunghezza | 7 | lungo | |
| 221 | Acino: larghezza | 7 | largo | |
| 223 | Acino: forma | 2 / 3 | sferoidale / ellissoidale largo | |
| 225 | Acino: colore della buccia | 1 / 2 | verde giallo / rosa | |
| 231 | Acino: intensità della pigmentazione antocianica della polpa | 1 | nulla o molto debole | |
| 236 | Acino: particolarità dell'aroma | 1 | nessuna | |
| 241 | Acino: sviluppo dei vinaccioli | 3 | completo | |

Ampelometria

OIV

nessun descrittore presente per Rosa di Mara

nessun descrittore SuperAmpelo presente per Rosa di Mara

Note

Conosciuta anche come Axina grussa de Mara (Uva grossa di Mara) è un'uva da tavola ad elevata pezzatura e con acino dotato di polpa compatta. La sua ridotta fertilità la rende problematica per una viticoltura moderna e produttiva. È una varietà compatibile su un profilo genetico di 22 SSR con la Verico (Cipro) o Kyprou mavro o Gemre Pembe (Turchia), che come è facile arguire, sono presenti nel Mediterraneo orientale. La sua presenza in Sardegna deve comunque essere piuttosto antica dato che il Moris cita una "Uva Rosa" che ha le stesse caratteristiche del nostro vitigno.

Bibliografia (3)

| autori | anno | titolo | rivista | citazione |
|--|------|--|---------------------------------------|---|
| AA.VV. | 2017 | AKINAS, Uve di Sardegna | | AA.VV. 2017. AKINAS, Uve di Sardegna. Ed. Ilisso, Isbn 9788862023528 |
| Lacombe L., Boursiquot J.M., Laucou V., Di Vecchi-Staraz M., Péros J.P., This P. | 2013 | Large-scale parentage analysis in an extended set of grapevine cultivars (<i>Vitis vinifera</i> L.) | TAG Theoretical and Applied Genetics | 126 (2): 401-414 |
| Maul et al. Institute for Grapevine Breeding Geilweilerhof | 2019 | Vitis International Variety Catalogue | Vitis International Variety Catalogue | http://www.vivc.de/index.php?r=cultivarname%2Findex |